



بررسی نظری و تجربی تحلیل جاپایی تایر رادیال ۱۸۵/۶۵R۱۴ با طرح رویه به کمک روش اجزای محدود

میر حمید رضا قریشی*، مجتبی ابطحی

تهران، پژوهشگاه پلیمر و پتروشیمی ایران، صندوق پستی ۱۴۹۶۵/۱۱۵

دریافت: ۸۶/۶/۵، پذیرش: ۸۶/۹/۱۲

چکیده

این کار پژوهشی اختصاص به تحلیل جاپایی یک تایر رادیال اندازه ۱۸۵/۶۵R۱۴ زیر بار عمودی ایستاداً استفاده از روش اجزای محدود دارد. دو مدل از تایر ساخت شد که در مدل اول از طرح رویه صرف نظر و در مدل دوم جزئیات رویه تایر در نظر گرفته شد. از دو مدل مکانیکی کشسان خطی و ابرکشسان آرودا - بویس نیز برای بیان رفتار تنش - کرنش مواد تقویت کننده و بخش های لاستیکی استفاده شد که پارامترهای هر مدل به کمک آزمون کشش تعیین شدند. دو مدل اجزای محدود گفته شده زیر فشار باد داخلی و بار عمودی ایستاد تحلیل شد که فرایند تحلیل مدل با طرح رویه در دو حالت با و بدون در نظر گرفتن اصطکاک بین سطوح رویه و تماس صورت پذیرفت. در هر مرحله از بارگذاری نتایج به دست آمده با داده های تجربی مقایسه شد تا دقیق و صحیح مدل های ایجاد شده تعیین شود. در این کار نشان داده شد که تحلیل اجزای محدود یک تایر بدون در نظر گرفتن اثر طرح رویه نه تنها نیاز به زمان اجرا و منابع سخت افزاری کمتری دارد و از این لحاظ اقتصادی تر است. بلکه تفاوت نتایج مربوط به تغییر شکل های پیش بینی شده بین دو مدل یاد شده نیز چندان محسوس نیست. اما، دقت نتایج در خصوص پارامترهای پیچیده تر نظیر شکل و مساحت ناحیه جاپا و توزیع فشار تماس نه تنها به مدل اجزای محدود ناحیه رویه تایر وابستگی فراوان دارد، بلکه در نظر گرفتن پدیده اصطکاک نیز اثر بسزایی روی نتایج دارد.

واژه های کلیدی

تایر رادیال،
روش اجزای محدود،
طرح رویه، تحلیل جاپا،
مدل آرودا - بویس

*مسئول مکاتبات، پیام نگار:

m.h.r.ghoreishy@ippi.ac.ir

A Theoretical and Experimental Study on the Footprint Analysis of a 185/65R14 Radial Tyre with Tread Pattern Using Finite Element Method

M.H.R. Ghoreishy* and M. Abtahi

Iran Polymer and Petrochemical Institute, P.O. Box: 14965/115, Tehran, Iran

Abstract

This research work is devoted to the footprint analysis of a steel-belted radial tyre (185/65R14) under vertical static load using finite element method. Two models have been developed in which in the first model the tread patterns were replaced by simple ribs while the second model was consisted of details of the tread blocks. Linear elastic and hyper elastic (Arruda-Boyce) material models were selected to describe the mechanical behavior of the reinforcing and rubbery parts, respectively. The above two finite element models of the tyre were analyzed under inflation pressure and vertical static loads. The second model (with detailed tread patterns) was analyzed with and without friction effect between tread and contact surfaces. In every stage of the analysis, the results were compared with the experimental data to confirm the accuracy and applicability of the model. Results showed that neglecting the tread pattern design not only reduces the computational cost and effort but also the differences between computed deformations do not show significant changes. However, more complicated variables such as shape and area of the footprint zone and contact pressure are affected considerably by the finite element model selected for the tread blocks. In addition, inclusion of friction even in static state changes these variables significantly.

Key Words

radial tyre,
finite element method,
tread pattern, footprint analysis ,
Arruda-Boyce model

(*) To whom correspondence should be addressed.
E-mail: m.h.r.ghoreishy@ippi.ac.ir

مقدمه

تقارن محوری (البته از نوع هندسی) می‌توان مدل سه بعدی تایر را با چرخش صفحه‌ای که مدل دو بعدی در آن ایجاد شده حول محور دوران تایر به آسانی تولید و فرایند تحلیل را در شرایط مختلف بارگذاری آغاز کرد. اما، این روند برای مدل تایر با طرح رویه پذیرفته نیست، چرا که ساختار طرح رویه تایر متقارن محوری (axisymmetric) نیست و لازم است تا شبکه اجزای محدود آن از ابتدا با ساختاری کاملاً سه بعدی ایجاد شود. بنابر این، بین آن بخشی از مدل که در آن طرح رویه وجود ندارد (ایله‌ها، دیواره جانبی و ...) و مدل اجزای محدود، بخش طرح رویه از لحاظ نحوه اتصال اجزاء عدم همخوانی به وجود می‌آید که در نظر داشتن آن موقع محاسبات ضروری است. همچنین، نوع اجزای به کار برده شده نیز از دیگر جنبه‌های مهم این موضوع به شمار می‌آید. عموماً از اجزای سه بعدی شش وجهی (نظیر اجزای ۸ گره‌ای یا ۲۰ گره‌ای) برای مدل سازی بخش‌های مختلف تایر استفاده شده که نحوه فرمول‌بندی مسئله و پاسخ‌های حاصل از این نوع اجزا جواب‌های قابل قبولی می‌دهند. اما، از طرف دیگر به دلیل هندسه پیچیده طرح رویه تایر استفاده از اجزای گفته شده همواره میسر نیست. اجزای چهار وجهی (۴ گره‌ای یا ۱۰ گره‌ای) قابلیت بسیار خوبی در مدل کردن سازه‌ها و قطعات پیچیده دارند و به همین دلیل به ناچار باید برخی از اجزای طرح رویه را از این طریق مدل کرد. اما، این اجزا به دلیل تقریب خطی مورد استفاده به ویژه در حالتی که باید از فرمول‌بندی هیبریدی به دلیل رفتارهای ابرکشسان (hyper-elastic) اجزای لاستیکی به کار گرفت، جواب‌های چندان قابل قبول و مطمئنی نمی‌دهند و حتی در برخی موارد به ویژه در مسائل سطح تماس رسیدن به جواب‌های همگرا در حل معادلات غیرخطی ناممکن می‌شود. در ادامه این مقاله ابتدا فعالیت‌های انجام شده در این حیطه مرور می‌شود که عمدتاً معطوف به ده تا پانزده سال گذشته است و طی آن ضمن بررسی روش‌های مختلف مدل سازی تایر با طرح رویه، مزايا و معایب آنها بحث و بررسی می‌شود. به دنبال آن جزئیات مدل سازی سه بعدی یک تایر رادیال ۱۴/۶۵R با طرح رویه انتخابی به کمک یک روش جدید مدل سازی هندسی سه بعدی که در این کار ابداع شده به همراه نتایج حاصل از تحلیل آن زیر بار عمودی است (تحلیل جایای footprint)، ارائه می‌شود. داده‌های به دست آمده سپس با مقادیر تغییر مکان و سطح جایای (footprint area) اندازه‌گیری شده در آزمایشگاه و نیز نتایج حاصل از تحلیل مدل سه بعدی بدون طرح رویه تایر مقایسه و در خصوص دقت و کارایی مدل‌ها بحث می‌شود. مهم‌ترین جنبه نوآوری این کار را می‌توان در ابداع شیوه‌ای جدید برای ساخت مدل سه بعدی اجزای محدود یک تایر با طرح رویه و همچنین تحلیل اجزای محدود جایای با اندازه ۱۴/۶۵R دانست.

تایر سازه‌ای کامپوزیتی است که ساختار آن متشکل از مواد با خواص فیزیکی و مکانیکی مختلف و تا حدی متناقض نظری لاستیک، فولاد و نخ‌های پلیمری است. انتخاب نوع مناسب هر یک از این مواد به همراه مهندسی قرارگیری این اجزا در کنار هم به نحوی که پاسخ مناسی برای نیازهای یک خودروی مدرن باشد را می‌توان مهم‌ترین عنصر کلیدی در محصول پیچیده دانست. در این میان مهم‌ترین عنصر کلیدی در دست یابی به طرحی بهینه و موفق آگاهی از ارتباط بین خصوصیات اجزای تشکیل دهنده و ساختار انتخابی با چگونگی کارایی آن در شرایط مختلف بارگذاری و کاربری است. استفاده از مدل ریاضی برای دست یابی به این مهم که تجلی آن در قالب کاربرد روش اجزای محدود در شبیه‌سازی رایانه‌ای تایر نمود یافته است همواره یکی از مباحث اصلی و چالش برانگیز در حیطه مهندسی لاستیک و تایر به شمار می‌آید. شبیه‌سازی رایانه‌ای تایر به روش اجزای محدود مقوله‌ای بسیار مفصل بوده که بررسی آن از حوصله این مقاله خارج است.

هدف این کار پژوهشی بررسی مدل سازی تایر با در نظر گرفتن جزئیات طرح رویه (tread pattern) است. نگاهی اجمالی به روند کاربرد روش اجزای محدود در شبیه‌سازی تایر طی سه دهه گذشته به خوبی می‌بین این نکته است که در نظر گرفتن طرح رویه از جمله مشکل ترین و پرزمخت ترین بخش کار در مدل سازی تایر به شمار می‌آید. در حقیقت تفاوت فراوان در هندسه اجزای تشکیل دهنده رویه با سایر بخش‌های تایر نظیر ایله‌ها، بلت و دیواره جانبی (side-wall) موجب بروز چنین مشکلی می‌شود. از سوی دیگر تعداد درجات آزادی در یک مدل ساده با مدلی که در آن طرح رویه در نظر گرفته شده تفاوت فراوانی دارد و این موضوع موجب می‌شود تا تحلیل مدل‌های تایر با طرح رویه نیاز به زمان اجرای بیشتر، پردازندۀ‌های مرکزی قوی تر و حافظه بیشتر داشته باشد که خود موجب ایجاد دشواری‌های مضاعفی می‌شود. بنابراین، تقابلی بین مدل سه بعدی ساده که در آن از طرح رویه صرف نظر شده (یا حداقل چند خط ساده یا rib در نظر گرفته شده) با مدل‌های پیچیده با طرح رویه وجود دارد. بدین معنی که مدل‌های ساده را می‌توان سریع تر ایجاد و تحلیل آنها را با صرف زمان و هزینه کمتر به انجام رسانید. در حالی که ساخت مدل‌های پیچیده مستلزم صرف زمان بیشتر بوده و اجرای آنها پرهزینه‌تر و طولانی تر می‌شود. اساساً کار اصلی در ایجاد مدل ساده تایر (بدون طرح رویه) تنها در ساخت مدل دو بعدی آن نهفته بوده که در آن لازم است تا شبکه اجزای محدود یک دست و همخوان ایجاد شده و نواحی پیچیده و پر دردسر آن با دقت کافی به زبان اجزای محدود بیان شود. اما، پس از آن با فرض وجود

دینامیکی به کمک نرم افزار LS-DYNA و به شکل صریح (explicit) شبیه سازی شد. با استفاده از چنین مدل های جامعی آنها توансند اثر بار وارده، زمان و زاویه لغزش را روی نیروی جانبی مورد مطالعه قرار دهند. همچنین، اثر طرح رویه روی فرسایش پذیری تایر را نیز بررسی کردند. در ضمن آنها، اثر رویه در یک تایر ۱۹۵/۶۵R۱۴ با طرح گل برفي را با هدف سنجش کارایی آن در شرایط یخی و لغزندۀ مطالعه کردند. اوکانو و کویشی [۶] نیز مسئله آب پیمایی را به کمک دو روش اجزای محدود برای تایر و حجم محدود برای جریان آب مطالعه کردند. در این کار اثر سرعت خودرو، ساختار تایر و طرح رویه به عنوان عوامل اصلی مؤثر بر آب پیمایی در تایرها مورد تجزیه و تحلیل قرار گرفت. ایشان همچنین، نتایج حاصل از شبیه سازی را با داده های تجربی به دست آمده از آزمون میدانی مقایسه کردند و قابلیت مدل را در این زمینه سنجیدند. اهیشی و همکاران [۷] در یک کار پژوهشی اثر گل رویه را روی PRCF (plysteer residual cornering force) در نظر گرفته و با تفکیک اثر ساختار از اثر شکل طرح رویه، هر یک را به طور جداگانه تحلیل کردند. مدل ایشان اگرچه کامل بود، اما برای صرفه جویی در زمان و هزینه محاسبات تنها آن بخش از تایر که در تماس با سطح زمین بود با جزئیات کامل مربوط به رویه مدل شد. کوهن و همکاران [۸] نیز مدلی کامل از تایر با طرح رویه را ایجاد و با روش اجزای محدود مورد مطالعه قرار دادند. آنها همچنین، نتایج حاصل از تحلیل خود را با داده های تجربی حاصل از انجام آزمون نیز مقایسه کردند. هدف اصلی آنها شناخت و مطالعه برهم کشین بین رویه و بدنده تایر بود.

ناکاجیما و همکاران [۹] روش بهینه سازی جدیدی را با هدف بهینه کردن شکل رویه بر مبنای یکنواخت کردن توزیع فشار ناحیه تماس و حفظ مقدار سطح جاپا ارائه دادند. آنها نشان دادند که با استفاده از روش ابداعی ایشان می توان طرح رویه را بهینه و باعث بهبود فرمان پذیری، راحتی سرنشین و کاهش سایش نامنظم شد.

چو و همکاران [۱۰] به طور مشخص به ارائه الگوریتمی جدید برای ایجاد شبکه اجزای محدود در تایری با طرح رویه بسیار پیچیده پرداخته و با مقایسه و بررسی نتایج به دست آمده دقت و صحت روش خود را آزمودند. آنها از نرم افزار ABAQUS برای تحلیل اجزای محدود و فشار ناحیه تماس به عنوان مبنای مقایسه با داده های تجربی استفاده کردند. چو و همکاران [۱۱] همچنین، از همین روش برای مدل سازی دینامیکی و گذراي یک تایر رادیال ۲۰۵/۶۰R۱۵ با طرح رویه نامتقارن استفاده کرده و حرکت تایر را از روی مانع کوچک شبیه سازی کردند. آنها از نرم افزار ABAQUS در حالت صریح استفاده و نتایج را با

موروی بر شبیه سازی های انجام شده تایر با طرح رویه

از میان کارهای انجام شده در زمینه مدل سازی تایر با طرح رویه می توان به مقاله گال و همکاران [۱] اشاره کرد. ایشان در این مقاله شبیه سازی سه بعدی تایر با طرح رویه را با هدف بررسی روش کلی - جزئی (global/local) مورد توجه قرار داده و نشان دادند که استفاده از روش کلی - جزئی به دلیل آن که در آن اثر بر هم کنش بین رویه و سایر اجراء که عمدها بلت و لایه نهایی (Cap Ply) هستند، صرف نظر می شود، نتایج متقابلوتی به دست می دهد. روش کلی - جزئی فنی است که در آن ابتدا تایر به طور کامل به همراه تمام اجزا ولی بدون در نظر گرفتن جزئیات طرح رویه مدل می شود. سپس، آن بخش از تایر که در تماس با زمین قرار گرفته به عنوان مدلی مجزا شبکه بندی شده و جداگانه تحلیل می شود. در طی این تحلیل نتایج حاصل از مدل تایر اولیه (که اصطلاحاً مدل کلی خوانده می شود) به عنوان شرط مرزی برای مدل جدید (یعنی تایر با طرح رویه که به آن مدل جزئی نیز می گویند) به کار گرفته می شود. در بخشی از مقاله یاد شده به بررسی این مسئله پرداخته و توجه خوانده به خطاهایی که ممکن است در صورت استفاده از روش کلی - جزئی ایجاد شود، معطوف می شود. روش کلی - جزئی به دلیل آن که جزئیات رویه تنها در مدلی کوچک تر بررسی می شود، نیاز به زمان اجرا و متابع سخت افزاری کمتری نسبت به یک مدل کامل با تمام جزئیات دارد. از این رو، برخی تحلیل گران آن را روشی مرجع می دانند. کامپاناس و همکاران [۲] به شبیه سازی ارتعاشات در تایری غلطان با در نظر گرفتن طرح رویه پرداخته و نظریه های مختلف موجود در زمینه ارتعاشات و محاسبات مربوط را مورد تجزیه و تحلیل قرار داند. مانکوسو و همکاران [۳] یک مدل ریاضی سه بعدی را برای تحلیل تایر ابداع کردند. در این مدل رفتار فرمان پذیری (handling) و راحتی (ride) تایر بررسی شد. مدل ایشان از دو بخش سازه ای و ناحیه تماس تشکیل شده و در آن از دو حالت پایدار زمانی و وابسته به زمان برای تحلیل تایر در شرایط مختلف استفاده شد.

بحث آب پیمایی (hydroplaning) یا حرکت تایر روی آب (و سطوح خیس) از جمله مواردی است که در نظر گرفتن اثر طرح رویه در آن بسیار حائز اهمیت است. این موضوع در کار ستا و همکاران [۴] مورد بررسی قرار گرفت. ایشان از یک مدل اجزای محدود برای مدل سازی تایر و مدل حجم محدود برای شبیه سازی جریان آب استفاده کردند. همچنین، ایشان از روش کلی - جزئی برای سنجش پارامتری طرح های مختلف طرح رویه تایر به هنگام مواجهه با آب استفاده کردند. شیرالیشی و همکاران [۵] دو مدل اجزای محدود کامل از یک تایر سواری ۱۷R۲۲/۵ و یک تایر سنگین ۱۷R۴۵/۲۳۵ و ۱۷R۲۲/۵ ایجاد کردند که در شرایط کاملاً

که در اینجا متغیری مجازی (dummy) است، بیان می‌شود. این معادله به شکل ماتریسی زیر است:

$$\{R\}^{t+\Delta t} - \{F\}^{t+\Delta t} = 0 \quad (1)$$

که در این معادله $\{R\}^{t+\Delta t}$ و $\{F\}^{t+\Delta t}$ به ترتیب بردار بار اعمال شده و بردار بار محاسبه شده در گره‌ها هستند. از آنجا که بردار $\{F\}^{t+\Delta t}$ به مقادیر تغییر مکان در گره‌ها در لحظه $t+\Delta t$ یعنی $\{U\}^{t+\Delta t}$ وابسته است، بنابراین از روشی تکرار شونده باید استفاده شود و معادله (1) به شکل زیر نوشته می‌شود:

$$\{\Delta R\}^{(i-1)} = \{R\}^{t+\Delta t} - \{F\}^{(i-1)} \quad (2)$$

که i شماره تکرار است و بردار $\{\Delta R\}^{(i-1)}$ با استفاده از معادله (3) محاسبه می‌شود:

$$\{t+\Delta t[K]^{(i)}\}_{\Delta U}^{(i)} = \{\Delta R\}^{(i-1)} \quad (3)$$

که $\{K\}^{t+\Delta t}$ ماتریس ژاکوبین (Jacobian) یا ماتریس سفتی مماسی (tangent stiffness matrix) در تکرار شماره i است. با محاسبه $\{\Delta U\}^{(i)}$ از معادله (3) به راحتی بردار تغییر مکان (تغییر شکل تایر) به کمک معادله (4) به دست می‌آید:

$$\{U\}^{(i-1)} = \{U\}^{(i)} + \{\Delta U\}^{(i)} \quad (4)$$

روش تکرار شونده گفته شده که بنام نیوتن-رفسن مشهور است، باید تا جایی که مقدار $\{\Delta U\}^{(i)}$ به سمت صفر میل کند (همگرایی) ادامه یابد. در عمل، تکرار محاسبات تا جایی ادامه می‌باید که شرط زیر برقرار شود:

$$\left| \{\Delta U\}^{(i)} \right| \leq \varepsilon_d \left| \{U\}^{(i)} \right| \quad (5)$$

که ε_d اندازه بردار و d مقدار رواداری (معمولًاً 10^{-4}) است.

مدل اجزای محدود

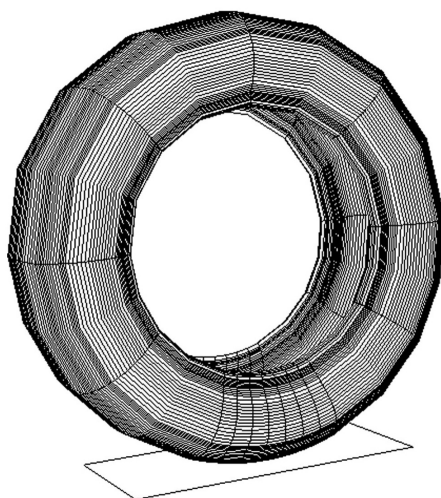
تایر مورد مطالعه در این کار پژوهشی یک تایر رادیال سیمی با اندازه ۱۸۵/۶۵R۱۴ ساخت داخل بود که بدنه اصلی (carcass) آن از یک لایه ریون، دو لایه بلت با الیاف فولادی با زاویه 20° درجه و دو لایه نهایی ساخته شده از الیاف نایلون تشکیل شده است. شکل ۱ جانمایی تایر مذبور را به همراه اجزای تشکیل دهنده آن نشان می‌دهد. در مرحله پیش‌پردازش از نرم افزارهای Geostar [۲۰] برای ساخت مدل اجزای محدود بلوک‌های رویه و ABAQUS/CAE [۲۱] برای ساخت مدل سایر نواحی استفاده شد. محاسبات اجزای محدود در مرحله پردازش به کمک

داده‌های تجربی نیز مقایسه کردند. در این کار آنها اثر سرعت غلتش و فشار باد داخلی را نیز مورد مطالعه قرار دادند. ماندل و همکاران [۱۲] با استفاده از روش کلی - جزئی اثر هشت طرح مختلف گل را روی PRCF مطالعه کردند. همچنین، نتایج شبیه‌سازی را با مقادیر تنش ناحیه تماس که به طریق تجربی روی درام تست اندازه گرفته شده بود، مقایسه و نشان دادند که بین آنها شباهت بسیار زیادی برقرار است. چو و همکاران [۱۳] نیز از مدل اجزای محدود سه بعدی تایر با طرح رویه استفاده کرده و با تلفیق آن با نرم افزار روش حجم محدود به بررسی مسئله آب پیمایی پرداختند. آنها با مقایسه نتایج حاصل از شبیه‌سازی با داده‌های تجربی که شامل جریان آب خروجی از میان شکاف‌های رویه، فشار هیدرودینامیکی و نیروی تماسی بودند، دقت و صحت مدل خود را تأیید کردند.

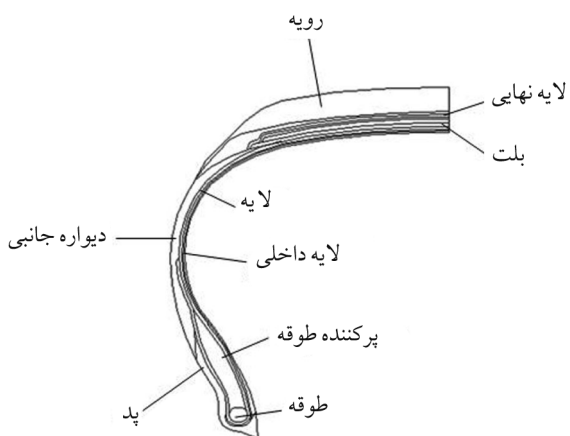
قریشی [۱۴] نیز یک مدل اجزا محدود سه بعدی تایر با طرح رویه از یک تایر ۱۷۵/۷۰R۱۴ را به طور کامل ایجاد و آن را به کمک نرم افزار ABAQUS مورد تجزیه و تحلیل قرار داد. در این کار با مقایسه نتایج با داده‌های تجربی و مدل مشابه همین تایر که در آن از طرح رویه صرف نظر شده بود، نشان داده شد که برای سنجش برخی پارامترها نیازی به استفاده از مدل‌های پیچیده طرح رویه نیست. در مقابل پارامترهایی (همانند توزیع فشار ناحیه تماس) وجود دارند که برای محاسبه دقیق آنها باید حتماً طرح رویه در مدل تایر لحاظ شود. ناراسیم ها نیز [۱۵] پدیده گرمازایی و پیش‌بینی توزیع دما را در یک تایر در حال غلطش پایدار بررسی کرد و در آن اثر پترن را در نظر گرفته و نتایج را با حالتی مقایسه کرد که در آن از اثر طرح گل صرف نظر شده بود. در کار جدیدی نیز چو و همکاران [۱۶] فرایند ترمز‌گیری روی سطح خیس را در تایر به کمک تلفیقی از روش تحلیلی و روش عددی شبیه‌سازی کردند. آنها از روش حجم محدود در فضای اولی برای حل مسئله جریان آب و اجزای محدود لاگرانژی صریح برای محاسبات مکانیکی تایر بهره جسته و ترمز‌گیری تایر در حالت استفاده از سامانه ABS را مدل کرده و نیز نتایج را با داده‌های تجربی مقایسه کردند.

شبیه‌سازی رایانه‌ای تایر معادلات اجزای محدود غیرخطی

مدل سازی تایر زیر بار به دلیل بروز پدیده‌های غیرخطی که شامل تغییر شکل‌های بزرگ، رفتار غیرخطی مواد و تماس است، باید با مدل اجزای محدود غیرخطی انجام شود. نظریه معادلات اجزای محدود غیرخطی به تفصیل در مقالات پیشین [۱۷-۱۹] مورد بحث و بررسی قرار گرفتند. بنابراین، در اینجا تنها خلاصه‌ای از این معادلات ارائه می‌شود. معادله اصلی در تحلیل اجزای محدود غیرخطی ایستا بر حسب زمان



شکل ۳- شبکه اجزای محدود سه بعدی تایر بدون طرح رویه.

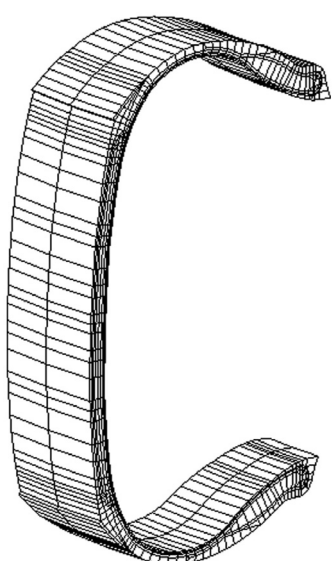
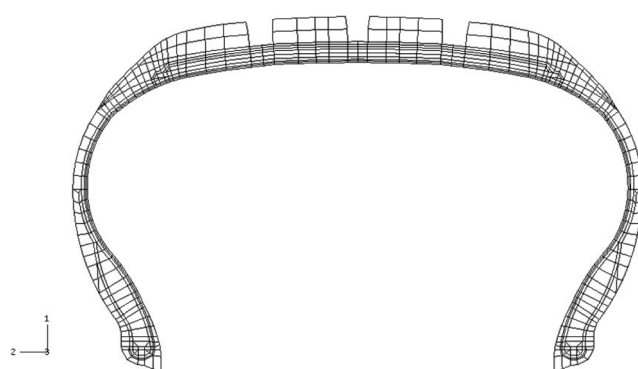


شکل ۱- جانمایی اولیه اجزای تایر.

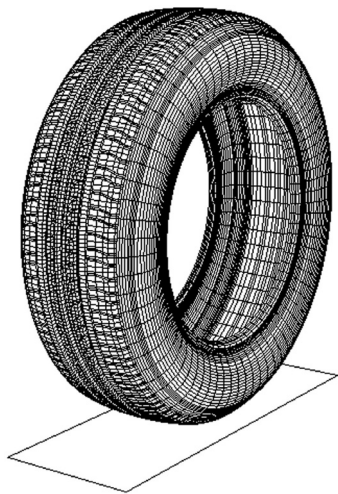
دقت بیشتر در منطقه تماس تایر با زمین از تعداد اجزای بیشتری نسبت به سایر نواحی استفاده شده که در شکل ۳ نشان داده شده است. اما ساخت مدل ۲ به دلیل وجود طرح رویه مستلزم طی مراحل بیشتری است. برای ساخت این مدل ابتدا مدل دو بعدی اجزای محدود نشان داده شده در شکل ۲ اصلاح و اجزای ناحیه رویه آن حذف شد. سپس حول محور چرخ به مقدار 10° درجه دوران داده شد تا قطاع 10° درجه‌ای سه بعدی از تایر بدون رویه ایجاد شود (شکل ۴). از طرف دیگر مدل هندسی بلوک‌های تشکیل دهنده رویه تایر نیز جداگانه ایجاد و با استفاده از اجزای سه بعدی شبکه‌بندی شد که در شکل ۵ نشان داده شده‌اند.

بدین ترتیب تعدادی زیرمدل (sub-model) از بخش‌های مختلف تایر

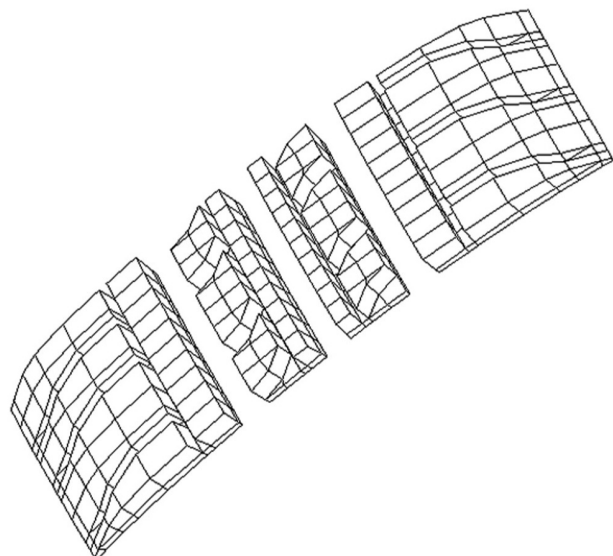
نرم افزار ABAQUS/Standard انجام شد و از نرم افزار ABAQUS/Viewer نیز برای مرحله پس‌پردازش استفاده شد. دو مدل اجزای محدود سه بعدی از این تایر ساخته و تحلیل شد که از آنها با نام مدل‌های ۱ و ۲ یاد می‌شود. در مدل ۱ از طرح رویه صرف نظر شده و تنها چهار خط ساده به عنوان نمادی از رویه تایر در نظر گرفته شد. در مدل ۲ طرح کامل رویه لحاظ و تحلیل جاپای با در نظر داشتن شکل کامل اجزای تشکیل‌دهنده گل تایر انجام شد. ساخت هر دو مدل، بر مبنای مدل دو بعدی متقارن محوری ایجاد شده از مقطع تایر بود که در شکل ۲ نشان داده شده است. در ساخت این مدل از دو نوع اجزا استفاده شد. بدین ترتیب که برای مدل کردن بخش‌های لاستیکی از اجزای چهار گره‌ای CGAX4H و برای مدل کردن الیاف تقویت کننده از اجزای میله‌ای (rebar) قرار داده شده در اجزای صفحه‌ای SFMGAX1 (از مجموعه اجزای نرم افزار ABAQUS) استفاده شد. مدل ۱ از چرخش مدل دو بعدی نشان داده شده در شکل ۲ حول محور دوران چرخ ساخته شد که در آن برای حصول به

شکل ۴- قطاع 10° درجه‌ای تایر بدون رویه.

شکل ۲- شبکه اجزای محدود دو بعدی متقارن محوری تایر.



شکل ۷- شبکه اجزای محدود سه بعدی تایر ۳۶۰ درجه‌ای همراه با طرح رویه.



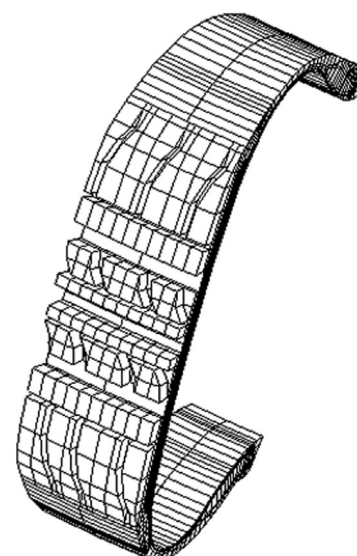
شکل ۵- شبکه اجزای محدود بلوك‌های رویه.

پیچیدگی اشكال بلوك‌های موجود در طرح رویه تایر عملاً امکان ایجاد یک شبکه اجزای محدود برای ناحیه رویه که در فصل مشترک با سایر بخش‌ها از لحاظ تعداد گره‌ها و اجزا یکسان و همخوان باشند، وجود ندارد. علاوه بر آن چون هر بلوك به طور جداگانه شبکه‌بندی می‌شود، امکان عدم همخوانی بین شبکه اجزای بین بلوك‌ها نیز وجود دارد. برای رفع این مشکل، از الگوریتم اتصال (tie) استفاده می‌شود. بدین ترتیب که ابتدا سطوحی که با یک دیگر در تماس بوده و نیز اجزای ناسازگار دارند، شناسایی و سپس یکی از آنها به عنوان سطح اصلی (master) و دیگری سطح فرعی (slave) در نظر گرفته شده و بین آنها الگوریتم اتصال تعریف می‌شود. در این الگوریتم فرض می‌شود که تمام درجات آزادی روی سطح فرعی دارای همان مقداری باشند که نقطه مشابه آنها (از لحاظ موقعیت فضایی و هندسی) در روش سطح اصلی داراست.

مدل رفتار مواد

از مدل کشسان خطی (با مدول یانگ E و ضریب پوآسون ۰.۷) برای بیان رفتار اجزای تقویت‌کننده (نخ‌های مصرفی و الیاف فولادی) و مدل

تشکیل و روی هم سوار شد تا قطاع ۱۰ درجه‌ای کامل از تایر حاوی بلوك‌های رویه ایجاد شد (شکل ۶). سپس، این قطاع حول محور چرخش تایر به شکل تناوبی دوران داده شد، تا در نهایت مدل سه بعدی کامل تایر همراه با جزئیات طرح رویه تشکیل شود که در شکل ۷ نشان داده شده است. تعداد گره‌ها و اجزای مورد استفاده در ساخت مدل‌های یاد شده در جدول ۱ آورده شده‌اند. همان‌طور که مشاهده می‌شود، تعداد اجزا و گره‌های مدل سه بعدی با طرح رویه به مراتب بیشتر از مدل ساده ۱ است. بنابراین، اجرای مدل با طرح ساده رویه نیاز به زمان و منابع سخت افزاری به مراتب کمتری نسبت به مدل با طرح رویه دارد. مهم‌ترین مسئله‌ای که باید در اینجا در نظر گرفت آن است که به دلیل



جدول ۱- تعداد گره و اجزا در مدل‌های اجزای محدود ایجاده شده.

تعداد اجزا	تعداد گره	مدل اجزای محدود
۱۰۵۲	۸۷۹	دو بعدی متقارن محوری
۱۵۷۸۱	۲۶۳۷۱	سه بعدی بدون طرح رویه
۸۶۰۴۱	۸۷۷۶۹	سه بعدی با طرح رویه

شکل ۶- قطاع ۱۰ درجه‌ای تایر همراه با بلوك‌های رویه.

کرنش، μ مدول برشی اولیه و λ_m ضریب کشیدگی قفل شده (locking stretch) است. مقدار اخیر کمیتی است که در آن شیب نمودار تنش - کرنش افزایش قابل ملاحظه‌ای می‌یابد. برای به کارگیری این مدل داده‌های حاصل از آزمون تنش - کرنش برای آمیزه‌های مختلف با برآشش غیرخطی مورد پردازش قرار گرفته و پارامترهای μ و λ_m به دست آمده که در جدول ۲ به همراه ضرایب کشسان الیاف مصرفی در تایر داده شده‌اند.

شرایط مرزی و بارگذاری

تایر مورد بحث طی دو مرحله بارگذاری شد. بدین ترتیب که در مرحله اول زیر فشار باد داخلی ($35/5 \text{ psi}$) 0.245 MPa قرار گرفته و سپس بار عمودی ایستا (530 kg) 5194 N به آن وارد و تحلیل گردید. شرط مرزی موردنیاز به ناحیه طوقه (bead) تایر که در تماس با رینگ قرار می‌گیرد، اعمال شد. بدین ترتیب که در ابتدا فرض شد تا فاصله پاشنه تا پاشنه سپس در این حالت ثابت و به دنبال آن بارهای گفته شده (فشار باد داخلی و بار عمودی ایستا) به آن اعمال گردد.

نتایج و بحث

دو مدل اجزای محدود ۱ و ۲ همراه با مدل مواد در شرایط بارگذاری یکسان تحلیل شدند. به منظور ارزیابی مدل‌های اجزای اجزای محدود توسعه داده شده در این کار، داده‌های حاصل از شبیه‌سازی با مقادیر اندازه‌گیری شده تجربی مقایسه شدند. آزمون‌های تجربی نیز در دو مرحله بارگذاری زیر فشار باد داخلی و بار عمودی ایستا انجام شدند. (مشابه با آن چه که در شبیه‌سازی انجام شد). بدین ترتیب که در مرحله اول تایر تا فشار داخلی از پیش تعیین شده باد زده و سپس ابعاد اصلی آن شامل قطر خارجی و پهنای بیشینه مقطع اندازه‌گیری شد. در مرحله دوم

جدول ۳- مقایسه بین مقادیر اندازه‌گیری شده و محاسبه شده حالت باد شده تایر با دو مدل.

ابعاد تایر باد شده				محل گزارش
مدل ۲	مدل ۱	مقادیر تجربی	محاسبه شده با	
۱۹۲	۱۹۲	۱۸۹/۴	پهنای بیشینه مقطع تایر	
۵۹۵/۵	۵۹۵	۵۹۶/۵	قطر خارجی	

ابرکشسان برای بیان رفتار تنش - کرنش مواد لاستیکی استفاده شد. مدل‌های ابرکشسان متعددی تاکنون برای بیان رفتار مواد الاستومری تراکم ناپذیر (یا به عبارت بهتر تقریباً تراکم ناپذیر) ارائه شده که از مدل ساده تک پارامتری نئوهوکی شروع تا مدل‌های چند های پارامتری پیچیده ادامه می‌یابند. مهم‌ترین مسئله در انتخاب این مدل‌ها اطمینان از دقیقیت آنها در پوشش دادن به حالت‌های مختلف بارگذاری کششی، برشی و فشاری است. با توجه به این که در این پژوهش، تنها از آزمون کشش استاندارد ASTM D ۴۱۲ استفاده شد، بنابراین از مدل آرودا - بویس (Arruda-Boyce) [۲۲] بدین منظور بهره گرفته شد. در این مدل نشان داده شده است که داده‌های حاصل از یک آزمون کششی ساده تک محوری از دقیقیت کافی برای مدل کردن قطعه‌ای لاستیکی در حالت‌های مختلف تغییر شکل برخوردار هستند. در این مدل ساختار مولکولی (Non-Gaussian) در شبکه در نظر گرفته می‌شوند. در این مدل تابع چگالی انرژی کرنشی (strain energy density) به شکل زیر بیان می‌شود:

$$W = \mu \sum_{i=1}^5 \frac{C_i}{\lambda_m^{2i-2}} (l_1^i - 3^i) \quad (6)$$

$$\begin{aligned} C_1 &= \frac{1}{2}, \quad C_2 = \frac{1}{20}, \quad C_3 = \frac{11}{1050}, \\ C_4 &= \frac{19}{7000}, \quad C_5 = \frac{519}{673750} \end{aligned} \quad (7)$$

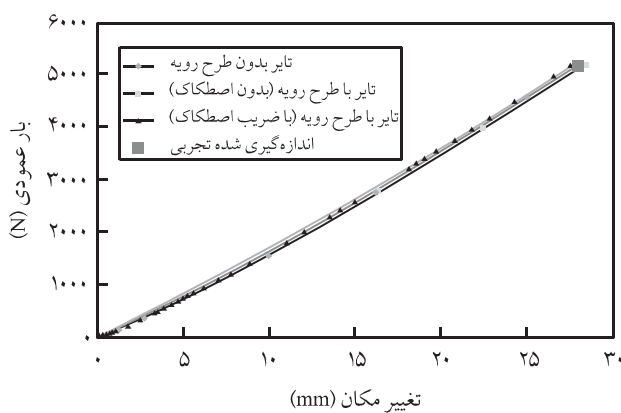
که در این معادله W چگالی انرژی کرنشی، I_1 اینواریانت اول تانسور جدول ۲- پارامترهای مدل آرودا - بویس و ضرائب کشسان برای اجزای لاستیکی و تقویتی.

اجزای لاستیکی	پارامترهای مدل آرودا - بویس		λ_m (MPa)	μ	اجزای اجزای تقویتی	ضرائب کشسان
	مدل آرودا - بویس	پارامترهای مدل آرودا - بویس				
رویه	۰/۳	۵۱۰۰	۴/۱	۷/۸۲	نخ ریون	
دیواره جانبی	۰/۳	۳۵۰۰	۳/۶۴	۷/۵۷	نخ نایلون	
پد	۰/۳	۲۰۰/۰۰۰	۲/۹۴	۲/۱	سیم فولادی	
بلت و لایه نهایی	-	-	۲/۷۹	۷/۸۷	-	
لایه	-	-	۲/۹۲	۷/۸۲	-	
پرکننده طوقه	-	-	۲۵۶۹/۴	۵/۳۵	-	
لایه داخلی	۵۹۵/۵	۵۹۵	۳/۸	۷/۱۵	قطر خارجی	پهنای بیشینه مقطع تایر

حرکت راحتی بیشتری را برای سرنشین فراهم کرده و از انتقال ناهمواری‌ها و ارتعاشات جاده می‌کاهد. از سوی دیگر کاهش سفتی عمودی موجب تغییر شکل بیشتر تایر شده و باعث افزایش مقاومت غلتاشی (rolling resistance) می‌شود. بنابراین، این کمیت باید برای هر تایر بهینه شود. افزون بر این، دو نکته مهم از این نمودار به دست می‌آید. اول آن که همان‌طور که انتظار می‌رود، تفاوت چندان محسوسی بین رفتار بار - تغییر مکان سه تحلیل گفته شده مشاهده نمی‌شود. دلیل عدمه آن است که این رفتار بیشتر تابع شکل هندسی تایر و فشار باد داخلی است و سایر عوامل اثر چندانی روی آن ندارند. نکته دیگر این که برای محاسبه ابعاد تایر زیر بار نیز همانند محاسبات اندازه‌یابی می‌توان از مدل با طرح ساده رویه استفاده کرد. همچنین، مقایسه بین مقادیر محاسبه شده تغییر مکان عمودی تایر با مقدار اندازه‌گیری شده (نشان داده در شکل ۸) نیز تأیید کننده این مطلب است.

مساحت ناحیه جایا از پارامترهای بسیار مهم هنگام طراحی و سنجش کارایی تایر است. مقدار جایای محاسبه شده از سه تحلیل پیشتر یاد شده به همراه مقدار اندازه‌گیری شده تجربی آن در جدول ۴ آورده شده‌اند. مقایسه بین این داده‌ها حاکی از آن است که بیشترین اختلاف مربوط به مدل بدون طرح گل (طرح ساده رویه) است. در حالی که با درنظر گرفتن طرح رویه، این اختلاف کاهش قابل ملاحظه‌ای می‌یابد. نکته جالب آن است که لحظه کردن پدیده اصطکاک به دلیل ممانعت ایجاد شده در حرکت مماسی بلوك‌های رویه باعث کاهش مقدار پیش‌بینی شده مساحت می‌شود و به مقدار حقيقی نیز نزدیک‌تر می‌شود. در اینجا برخلاف دو حالت قبل (ابعاد تایر زیر باد و بار) نوع مدل انتخابی اثر زیادی روی دقت محاسبات دارد که لزوم به کارگیری مدل کاملی از تایر را با طرح گل رویه مشخص می‌کند.

توزيع فشار تماсی برای دو مدل یاد شده در شکل‌های ۹-الف تا ۹-ن شان داده شده‌اند. همانند مرحله قبل، مدل تایر با طرح رویه (مدل ۲) در دو حالت با اصطکاک و بدون آن تحلیل شد. شکل ۹-الف توزیع فشار را برای دو مدل با طرح ساده رویه نشان می‌دهد. بیشترین فشار تماصی در نواحی شانه‌های تایر (shoulder) مشاهده می‌شود. همین روند در مدل با طرح رویه که در آن از اصطکاک صرف نظر شده نیز وجود دارد (شکل ۹-ب). افزون بر آن، مشاهده می‌شود که مقدار فشار تماس بیشینه برای



شکل ۸- نمودار بار - تغییر مکان زیر بار عمودی ایستا.

تایر در دستگاه پلانجر قرار گرفت و با صفحه‌ای صلب تماس داده شد. برای تعیین اثر تماس تایر با صفحه مزبور از کاغذ کپی حساس به فشار استفاده شد. با اعمال نیرو به تایر در مقابل صفحه صلب یاد شده، مقادیر نیرو و تغییر مکان عمودی تایر ثبت گردید. پس از اتمام آزمون، کاغذ کپی از محل تماس خارج و مساحت جایا از روی شکل نقش بسته شده معین شد. در جدول ۳ نتایج مرحله بارگذاری زیر فشار باد داخلی برای مدل‌های مزبور همراه با مقادیر اندازه‌گیری شده تجربی نشان داده شده است. مقایسه بین نتایج تجربی و پیش‌بینی شده حکایت از دقت هر دو مدل دارد. افزون بر آن، اختلاف ناچیز بین دو مقدار پیش‌بینی شده با مدل‌های ۱ و ۲ نیز می‌بین آن است که در نظر گرفتن اثر طرح رویه در مدل سازی اثر چندانی روی نتایج پیش‌بینی شده ندارد. نتایج تحلیل تنش زیر فشار باد داخلی عمدتاً برای حل مسئله اندازه‌یابی تایر (sizing) به کار برده می‌شود.

نمودار بار - تغییر مکان برای تایر مورد نظر در شکل ۸ نشان داده شده است. مدل تایر با طرح رویه دو مرتبه مورد تحلیل قرار گرفت. در تحلیل اول فرض شد که هیچ اصطکاکی بین تایر با سطح تماس وجود ندارد. در حالی که در تحلیل دوم ضرب اصطکاکی معادل ۰/۷ مطابق قانون اصطکاک کولن در نظر گرفته شد. شب اولیه نمودار بار - تغییر مکان به عنوان سفتی عمودی خوانده شده که معیاری از راحتی و نرمی تایر در حرکت است. هر قدر این کمیت کمتر باشد، در آن صورت تایر هنگام

جدول ۴- مقادیر محاسباتی و اندازه‌گیری شده تجربی مساحت ناحیه جایا تایر.

مساحت (m ²)	مدل	بدون طرح رویه	با طرح رویه (بدون اصطکاک)	با طرح رویه (با اصطکاک)	اندازه‌گیری شده
1.121×10^{-2}	1.177×10^{-2}	1.346×10^{-2}	1.474×10^{-2}	1.177×10^{-2}	1.121×10^{-2}

که به دلیل ایجاد مقاومت در حرکت مماسی بلوک های تایر، توزع نیروها تغییر کرده به نوعی که بیشینه فشار تماسی متمایل به سمت گوشه های بلوک می شود. همچنین، به دلیل کاهش مساحت ناحیه تماس (جدول ۴) در مدل با طرح رویه، مقدار فشار تماسی بیشتری نسبت به مدل با طرح ساده به دست آمده است.

نتیجه گیری

در این کار، روشی جدید برای ساخت مدل اجزای محدود تایرهای رادیال با جزئیات طرح رویه معرفی شد. پایه این روش بر مدل سازی هندسه ناحیه رویه و سایر نواحی متقاضی محوری تایر در دو نرم افزار جداگانه و تلفیق آنها قرار دارد. از این مدل برای تحلیل جایه تایر رادیال سیمی با اندازه ۱۴/۶۵R۱۴ ساخت داخل استفاده شد. نتایج حاصل از تحلیل اجزای محدود این مدل به همراه مدل با طرح ساده رویه و نیز مقایسه آنها با داده های تجربی اندازه گیری شده نشان داد که:

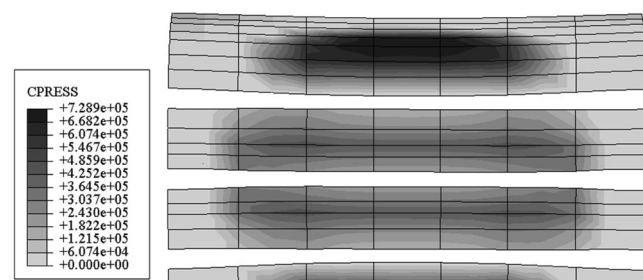
- ابعاد تایر بعد از باد شدن و نمودار بار - تغییر مکان تایر در تحلیل جایه وابستگی ناچیزی به مدل اجزای محدود انتخابی برای ناحیه رویه دارد. به عبارت دیگر، در نظر گرفتن طرح رویه روی این داده ها اثر محسوسی ندارد ضمن آن که زمان اجرا و منابع سخت افزاری کمتری مورد نیاز است.

۲- پارامترهای پیچیده تر نظیر توزیع فشار ناحیه تماس، شکل و مساحت ناحیه جایه وابسته به مدل اجزای محدود ناحیه رویه است که برای حصول به جواب های دقیق باید جزئیات رویه حتماً در مدل لحاظ شود.

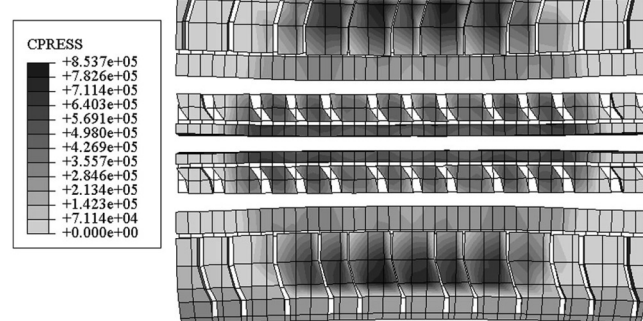
۳- در نظر گرفتن پدیده اصطکاک بین رویه و سطح تماس حتی در حالت ایستا به دلیل کنترل حرکت بلوک های رویه حائز اهمیت است و نمی توان از آن صرف نظر کرد.

قدرتانی

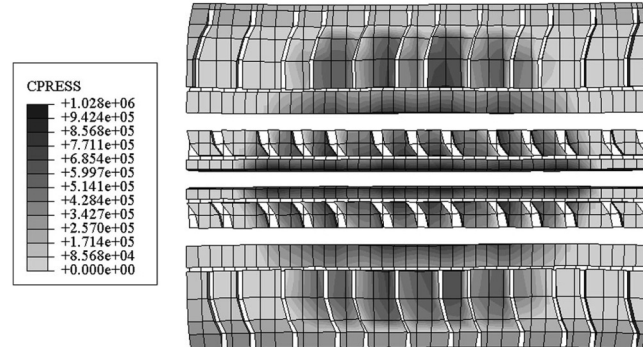
از معاونت توسعه و تحقیقات گروه صنعتی بارز به دلیل حمایت مادی از اجرای این طرح و همچنین کارشناسان بخش طراحی و مرکز آزمون مجتمع صنایع لاستیک کرمان به دلیل در اختیار گذاشتن داده های مورد نیاز و نیز انجام آزمون های اندازه گیری ابعادی و جایه تایر تشکر و قدردانی می شود.



(الف)



(ب)



(ج)

شکل ۹- توزیع فشار تماسی (Pa) برای مدل های مختلف: (الف) بدون طرح رویه، (ب) با طرح رویه بدون اصطکاک و (ج) بدون طرح رویه با ضریب اصطکاک برابر ۰/۷.

هر بلوک در مرکز همان بلوک به دست آمده است. این نکته قبل از نیز به شکل نظری و تجربی نشان داده شده بود [۲۳، ۱۴]. اما، در نظر گرفتن پدیده اصطکاک توزیع فشار ناحیه تماس را همان طور که در شکل ۹-ج نشان داده شده به شدت تحت تأثیر قرار می دهد. علت این امر آن است

مراجع

1. Gall R., Tabaddor F., Robbins D., Majors P., Sheperd W. and Johnson S., Some Notes on the Finite Element Analysis of Tires, *Tire Sci. Technol.*, **23**, 175-188, 1995.
2. Campanac P., Nonami K. and Duhamel D., Application of the Vibration Analysis of Linear Systems with Time-Periodic Coefficients to the Dynamics of a Rolling Tyre, *J. Sound Vibrat.*, **231**, 37-77, 2000.
3. Mancosu F., Sangalli R., Cheli F., Ciarlariello G. and Braghin F., Mathematical-Physical 3D Tire Model for Handling/Comfort Optimization on a Vehicle: Comparison with Experimental Results, *Tire Sci. Technol.*, **28**, 210-232, 2000.
4. Seta E., Nakajima Y., Kamegawa T. and Ogawa H., Hydroplaning Analysis by FEM and FVM: Effect of Tire Rolling and Tire Pattern on Hydroplaning, *Tire Sci. Technol.*, **28**, 140-156, 2000.
5. Shiraishi M., Yoshinaga H., Miyori A. and Takahashi E., Simulation of Dynamically Rolling Tire, *Tire Sci. Technol.*, **28**, 264-276, 2000.
6. Okano T. and Koishi M., A New Computational Procedure to Predict Transient Hydroplaning Performance of a Tire, *Tire Sci. Technol.*, **29**, 2-22, 2001.
7. Ohishi K., Suita H. and Ishihara K., The Finite Element Approach to Predict the Ply Steer Residual Cornering Force of Tires, *Tire Sci. Technol.*, **30**, 122-133, 2002.
8. Koehne S.H., Matute B. and Mundl R., Evaluation of Tire Tread and Body Interactions in the Contact Patch, *Tire Sci. Technol.*, **31**, 159-172, 2003.
9. Nakajima Y., Takahashi F. and Abe A., Surface Shape Optimization of Tire Pattern by Optimality Criteria, *Tire Sci. Technol.*, **31**, 2-18, 2003.
10. Cho J.R., Kim K.W., Yoo W.S. and Hong S.I., Mesh Generation Considering Detailed Tread Blocks for Reliable 3D Tire Analysis, *Adv. Eng. Softw.*, **35**, 105-113, 2004.
11. Cho J.R., Kim K.W., Jeon D.H. and Yoo W.S., Transient Dynamic Response Analysis of 3-D Patterned Tire Rolling Over Cleat, *Eur. J. Mech. A-Solid*, **24**, 519-531, 2005.
12. Mundl R., Fischer M., Wajroch M. and Lee S.W., Simulation and Validation of the Ply Steer Residual Aligning Torque Induced by the Tyre Tread Pattern, *Vehicle Syst. Dyn.*, **43**, 434-443, 2005.
13. Cho J.R., Lee H.W., Sohn J.S., Kim G.J. and Woo J.S., Numerical Investigation of Hydroplaning Characteristics of Three-Dimensional Patterned Tire, *Eur. J. Mech. A-Solid*, **25**, 914-926, 2006.
14. Ghoreishy M.H.R., Finite Element Analysis of the Steel-Belted Radial Tire with Tread Pattern under Contact Load, *Iran. Polym. J.*, **15**, 667-674, 2006.
15. Narasimha Rao K.V., Kumar R.K., Bohara P.C. and Mukhopadhyay R., A Finite Element Algorithm for the Prediction of Steady-State Temperatures of Rolling Tires, *Tire Sci. Technol.*, **34**, 195-214, 2006.
16. Cho J.R., Lee H.W. and Yoo W.S., A Wet-Road Braking Distance Estimate Utilizing the Hydroplaning Analysis of Patterned Tire, *Int. J. Numer. Meth. Eng.*, **69**, 1423-1445, 2007.
17. Ghoreishy M.H.R., Finite Element Analysis of a 6.45-14 Bias Tire under Contact Load, *Iran Polym. J.*, **10**, 45-52, 2001.
18. Ghoreishy, M.H.R., A Numerical Study on the Non-linear Finite Element Analysis of a Tire under Axisymmetric Loading, *Iran. Polym. J.*, **11**, 325-332, 2002.
19. Ghoreishy, M.H.R., Modelling the Nonlinear Deformation in Steel-Belted Radial Tires under Inflation Loading, *Iran. Polym. J.*, **12**, 57-65, 2003.
20. COSMOS/M, Command Reference, Version 1.75, 1995.
21. ABAQUS, Version 6.6, 2006.
22. Arruda E.M. and Boyce M.C., A Three-Dimensional Constitutive Model for the Large Stretch Behavior of Rubber Elastic Materials, *J. Mech. Phys. Solid.*, **41**, 389-412, 1993.
23. Ghoreishy, M.H.R., Steady State Rolling Analysis of a Radial Tire: Comparison with Experimental Results, Proceedings of the Institution of Mechanical Engineers, Part D: *J. Automobile Eng.*, **220**, 713-721, 2006.